

岩質材料へのアコースティック・エミッションの適用に関する考察

鹿島大学工学部 正員 藤井清司
大日本土木(株) ○正員 柳平康伸
大旺建設(株) 正員 松下 宏

まへふき: 最近 AE法が土木材料の研究に通用され発展しつつあるが 岩盤材料に通用された例は少なくデータ数も少ない。そこで本報告は 岩質材料供試体を用いてAE法のそのような材料への適用性の見通しをつけることを目的としている。具体的には 岩質材料の一軸圧縮試験・三軸圧縮試験 クリープ試験に AE計測を取り付けて AE測定結果を得てそれらについての検討・考察を行う。なお 本報告では周波数帯域、100~300 KHz, ディスクリゲイン: 40 dB, プリアンプゲイン: 100 KHz に固定し、ディスクリミネーターのゲインとしきい値(Discrimi-level)を変えることによって感度調節を行う。

材料および方法: 岩石材料のAE特性は、コンクリートやモルタルのそれに類似しているといわれる。そこで、本試験では岩質材料にて、重量配合比 水:セメント:砂 = 1:2:6 のセメントモルタルを用いる。なお、この材料強度は材令7日で圧縮強度: $\sigma_c = 300 \text{ kg/cm}^2$, 引張強度: $\sigma_t = 25 \text{ kg/cm}^2$, 14日で $\sigma_c = 347 \text{ kg/cm}^2$, $\sigma_t = 26 \text{ kg/cm}^2$ である。

まず 一軸圧縮試験時のAE計測は次のように行う。材令7日の円柱標準供試体($\phi 10 \times 20 \text{ cm}$)の側面部中心に、トランスデューサーをクリースを介したゴムバンド押付け法で取り付ける。ディスクリゲインは20dBに固定しておき、しきい値を1mVから10mVまで変化させ 供試体を圧縮破壊させ、しきい値1mV時のAE累積数を100%とし、他のしきい値のAE累積数の比を示す。次に材料強度(この場合材令)の違いによるAE発生状況を知るために しきい値を1mVに固定し 載荷荷重とAE累積数の関係を調べる。なお、材令は7日と14日である。またAEにはKaiser効果の回復があるといわれるので これを調べるために7日材令供試体にあらかじめ破壊強度の約70%の荷重をかけておき、時間の経過ごとに再び載荷して Kaiser効果の回復を調べる。

また 三軸圧縮試験時のAE計測は次のように行う。高圧三軸圧縮試験機に、円柱標準供試体を入れ 圧縮破壊させAE計測を行う。装置の都合上 トランスデューサーを直接供試体に取り付けることができないので 予備実験を行い 機械的・電気的等の環境雑音を無視しうる感度100%をあち、ディスクリゲイン: 20dB、しきい値2mVに設定する。側圧は 50, 100, 150, 200, 250 kg/cm² の5種類である。まず所定の側圧をかけた後 軸方向荷重を載荷はじめると同時にAEを測定(はじめ側圧によるAEは除く)。それその後圧下で軸方向に破壊に至るまで載荷してゆきその時の応力-ひずみ曲線とAE累積数との関係を調べる。なお、変位速度: 1mm/2分で載荷、材令は7日である。

最後にクリープ時のAE計測について述べる。5×5cm、支間50cmの材令14日の単純梁に、破壊荷重(曲げ)が 81.25 kg であるので 80, 75, 70, 60 kg の荷重をそれぞれかけておきAE累積数とクリープたわみとの関係を調べる。変位はダイヤルゲージで、支点および支間中央で測定し、支点沈下の影響を除去する。ディスクリゲイン20もしくは30dB、しきい値は0.5mVである。次に材令7日の円柱標準供試体を前述の高圧三軸

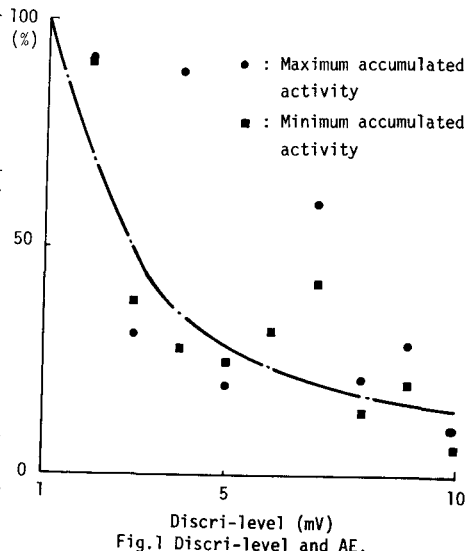


Fig.1 Discrimi-level and AE.

圧縮試験機に入れ、側圧 50 kg/cm^2 をかけた後、軸荷重を 30 ton (破壊荷重の約 90%) をかけたまま、1,000 分放置しておき、その後破壊に至るまで軸荷重を増加してゆきこの間 AE 計測する。データとしては継変位(動ひずみ)と AE 累積数との関係をとる。計測中のディスクリゲイン $\cdot 30 \text{ dB}$ (きい値は 2 mV である。

結果考察: 一軸圧縮試験時の AE 計測の結果は次のようになる。岩質材料のきい値と AE 累積数の関係は Fig. 1 に示すようになる。因からわかるように岩質材料では、きい値をあけることによって AE 累積数は急激に少なくななる。このことから、適当なきい値の設定が重要である。次に、一軸圧縮試験時の荷重と AE 累積数との関係を Fig. 2 に示す。因からわかるように、材令 7 日と 14 日のきい値による結果はどちらも破壊荷重の約 80% で AE 累積勾配が緩やかになり、破壊に近づくにつれて AE 累積数は急激に増加し、吸収に至る。Kaiser 効果の回復については、荷重をかけた後 5 時間、約 50 小時、11 時間(約 70% 回復する。

次に二軸圧縮試験時の AE 計測の結果は次のようになる。Fig. 3 に破壊に至るまでの応力-ひずみ曲線と AE 累積数-ひずみ曲線の関係を示してある。これらは相似形となる。このことは応力-ひずみ曲線の外りに、AE 累積数-ひずみ曲線から岩質材料の破壊機構を推定することができる可能性を示唆している。また、側圧をかけた後に動ひずみ荷重をかけると側圧時の AE とは別に新たに AE が発生する。このことから、載荷方向が変われば Kaiser 効果はあらわれないといふ。

次に、単純引張りと人込みと AE 累積数には相関関係がある。さらに単純引張りの場合、ひずみジャニフと AE 累積数との対応もよい。これらのことから、単純引張りと人込みと AE 累積数に強い相関関係にあることがわかる。三軸圧縮反力下のクリープ変位は Fig. 4 においてある。単純引張りとクリープ変位と AE 累積数との相関性はよい。すなわち単純引張りのクリープにおいては、クリープ変位がある程度安定してし、AE はまた増加する傾向にあるが、この場合はクリープ変位が安定すれば AE 発生もほとんどとなる。しかし、この場合ひずみジャニフと AE 発生があまり対応せず、30 分から 60 分の時間の差があるとも思われる。

以上のことから、延性破壊(三軸圧縮破壊)およびクリープ破壊と脆性破壊では、AE 発生傾向が異なるといえる。すなわち前者では降伏点におけるクリープひずみが定まるまで AE 発生が頻繁で、その後ほぼ安定するが、後者では載荷初期の段階での AE 発生は少なく、破壊に近づくにつれて AE 発生が頻繁になる。

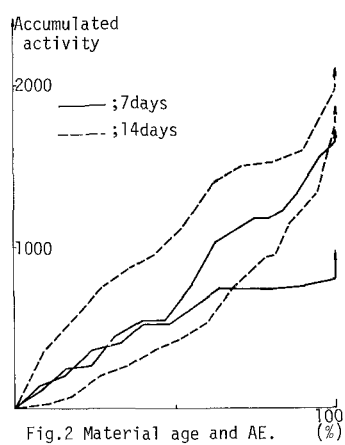


Fig. 2 Material age and AE.

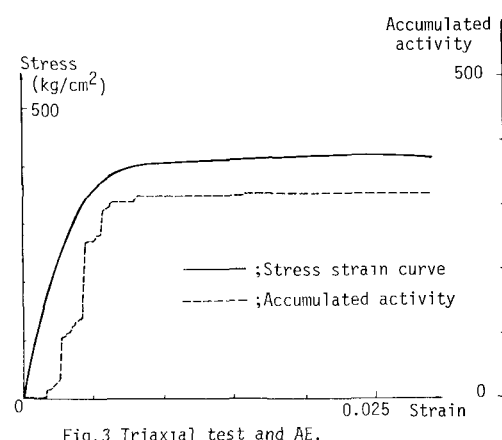


Fig. 3 Triaxial test and AE.

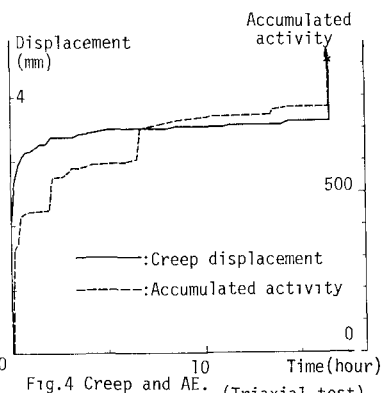


Fig. 4 Creep and AE. (Triaxial test)

Reference: H. R. Hardy, Jr. Application of Acoustic Emission Techniques to Rock Mechanics Research, ASTM

Special Technical Publication 505. December, 1971, pp. 41-83.